

## ФОТОПРОЦЕСИ В ПЛІВКАХ ЛЕНГМЮРА-БЛОДЖЕТ НА ОСНОВІ ВАНАДІЛФАЛОЦІЯНІНУ

П. О. Кондратенко, К. В. Стороженко

Інститут фізики НАН України,  
просп. Науки, 46, Київ, 252650, Україна

(Отримано 2 квітня 1998 р.; в остаточному вигляді — 30 липня 1998 р.)

Досліджено фізичні та фотохемічні процеси в плівках Ленгмюра-Блоджет (ЛБ-плівках) та розчинах ванаділфталоціяніну (VOPc). Виявлено вплив розчинника на спектральні характеристики й ефективність асоціації молекул VOPc: з підвищеннем полярності розчинника ширина смуг поглинання та ступінь асоціації зменшувалися. Знайдено, що в спектрах поглинання відбувається розщеплення смуг, яке є наслідком прояву слабкої взаємодії між  $\pi$ -молекулярними орбітальнами (МО) та замісниками. Показано, що збудження молекули VOPc (як у розчинах, так і в ЛБ-плівках) у високогергетичні стани приводить до її фотодисоціації переважно за механізмом предисоціації, причому предисоціація відбувається за рахунок релаксації збудження з  $S_n(\pi\pi^*)$  в  $\pi\sigma^*$ -стан, а  $\sigma^*$ -МО локалізована на містковому C–N–зв'язку. Показано, що асоціація молекул VOPc між собою або VOPc з молекулами води чи продукту її фотодисоціації приводить до зменшення квантового виходу фотодисоціації.

**Ключові слова:** фталоціянін, плівки Ленгмюра-Блоджет, фотодисоціація, предисоціація, асоціація.

PACS number(s): 33.80.Gj, 68.18.+p, 78.40.Me, 82.30.Lp, 82.30.Nr

Останнім часом багато уваги приділяють створенню елементної бази електронних пристрій, перспективних для застосування в молекулярній електроніці. У зв'язку з цим ведуться інтенсивний пошук відповідних матеріалів, середовищ. Одним із класів речовин, які вивчають з цією метою, є фталоціяніни — органічні сполуки з властивостями напівпровідників [1, 2]. Сучасний інтерес до них пов'язаний з їхньою плоскою структурою і здатністю за особливих умов формувати регулярні моношари й утворювати з них плівки Ленгмюра-Блоджет (ЛБ-плівки).

Метою цієї роботи є дослідження фотофізичних і фотохемічних процесів у ЛБ-плівках тетраоктаадецилсульфомаїлванаділфталоціяніну (VOPc-4R, де  $R=SO_2NHC_{18}H_{37}$ ) (рис. 1). Вплив світла на фізичні та хемічні процеси в VOPc раніше в літературі не розглядали. Не подано результатів систематичних досліджень впливу розчинника на спектр поглинання VOPc. Тому при розгляді VOPc-4R автори звертали увагу на відомі результати досліджень впливу розчинника та дії світла на електронні спектри споріднених сполук — H<sub>2</sub>Pc, MgPc, FePc, CuPc тощо [1–3]. Деякі роботи присвячені вивченю фотофізичних і фотохемічних процесів у розчинах порфіринів (ПФ), проте механізми фотопроцесів як у ПФ, так і у фталоціянінах (Pc) встановлені неоднозначно [4–7]. Тому у своїх дослідженнях автори використовували не лише ЛБ-плівки, а й розчини VOPc, щоб із комплексу досліджень встановити процеси, що протікають в ЛБ-плівках.

Усі ПФ і Pc, як свідчить література [2], мають подібні електронні спектри, яким властива наявність двох смуг ( $Q_1$ ,  $Q_2$ ) у видимій частині спектра і смуги на межі між видимою і УФ частинами (т.з. смуга Соре). Заміна розчинника приводить до зміщення та

перерозподілу інтенсивностей довгохвильових смуг в електронному спектрі і дещо менше впливає на положення смуги Соре. Такий же вплив чинить і заміна замісника.

Спектри поглинання Pc можна інтерпретувати за аналогією зі спектрами ПФ. Тоді найбільш довгохвильова смуга відповідає чисто електронному переході з вищої заповненої на нижчу вільну (виродженну)  $\pi$ -орбіталь [1, 2, 4]. Смузі Соре відповідає також чисто електронний переход, але з наступної заповненої орбітали на нижчу вільну  $\pi$ -орбіталь.

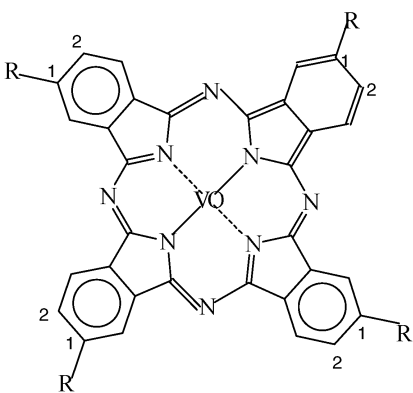


Рис. 1. Молекула VOPc-4R.

Вибір VOPc-4R у наших дослідженнях зумовлений його розчинністю в органічних розчинниках, що забезпечує можливість вивчати як розчини, так і ЛБ-плівки. З іншого боку, замісники R не впливають на енергетичну структуру та фотопроцеси в молекулі VOPc. Тому, розглядаючи  $\pi$ -електронну

систему молекули, яка відповідає за наявний спектр поглинання, можна вважати, що замісники  $R$  у першому наближенні не впливають на симетрію  $\pi$ -молекулярних орбіталей (МО). З рис. 1 видно, що молекула VOPc плоска. Іон ванаділу ( $VO^{2+}$ ) розміщений так, що атом V знаходиться в центрі молекули, а зв'язок V–O перпендикулярний до площини молекули (атом кисню виходить за межі площини). Таким чином, молекула має симетрію  $C_{4v}$ . Між атомами V і O існує сильний донор–акцепторний зв'язок за рахунок взаємодії між заповненою  $2p_z$ -атомною орбітальною (АО) кисню та пустою  $3d_{z^2}$ -АО ванадію. Крім того, вони утворюють  $\pi$ -МО ( $p_x$ -і  $p_y$ -АО кисню взаємодіють з  $d_{xz}$ -і  $d_{yz}$ -АО ванадію). Зв'язок між центральним атомом ванадію та діаніоном Рс (молекула VOPc електронейтральна) здійснюється, в основному, внаслідок взаємодії між незаповненими  $3d_{x^2-y^2}$ ,  $4s$ -і  $4p_{x,y}$ -АО ванадію та заповненими  $\pi$ -МО Рс, локалізованими на атомах азоту з утворенням чотирьох заповнених  $\sigma$ -МО. Крім того, АО ванадію  $3d_{xz}$  і  $3d_{yz}$  беруть участь в утворенні  $\pi$ -МО VOPc. Таким чином, при взаємодії Рс з  $VO^{2+}$  утворяться 4 заповнені електронами  $\sigma$ -МО і з'явиться додаткова глибока  $\pi$ -МО за рахунок взаємодії між  $\pi$ -системами  $VO^{2+}$  і Рс. Оскільки на  $VO^{2+}$  знаходиться непарна кількість електронів, у молекулі VOPc неспарений електрон локалізується на  $3d_{xy}$ –незв'язуючій орбіталі, якщо його енергетичний рівень виявиться вищим за рівень верхньої заповненої  $\pi$ -МО. Цей електрон спричинить парамагнетизм VOPc.

Якби неспарений електрон був локалізованим на  $\pi$ -МО, то в спектрах ЕПР спостерігалася б надトンка структура, викликана вкладом атомів азоту, чого насправді немає [2].

Ми дослідили спектри поглинання ЛБ-плівок VOPc і його розчинів у розчинниках різної полярності: циклогексані, толуолі, хлороформі і диметилформаміді. ЛБ-плівки VOPc, виготовлені за стандартною методикою, формували на поверхні води; вони були перенесені на кварцеві підкладки і сягали товщини 30 моношарів [8]. Розчинники добирали за принципом розчинності в них VOPc. Дослідження кінетики знебарвлювання зразків і спектральної чутливості фотохемічних процесів проводили за допомогою спектрофотометра Specord M-40 і ртутної лампи ДРШ-1000 з використанням набору світлофільтрів. Вплив атмосфери на фотохемічні процеси в плівках ПЛБ досліджували на спектральній установці, створеній на базі монохроматора SPM-2, при опроміненні зразка ртутною лампою ДРШ-250. При цьому використовували герметичну комірку, яка дозволяє утворювати навколо зразка вакуум, атмосферу кисню чи азоту, видалити пари води з атмосфери (для цього в комірку вносили прогрітий порошок силікагелю, який витримували в ній від однієї до трьох діб). В усіх випадках контролювали зміну оптичної густини в максимумі смуг  $Q_1$ ,  $Q_2$  і Соре з часом під дією світла. Статистично достовірні дані результатів досліджень наведені в таблицях 1 і 2.

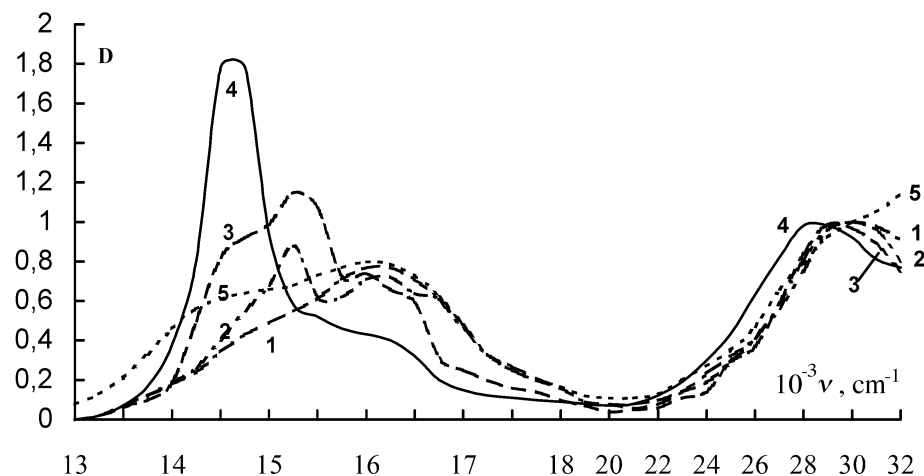


Рис. 2. Спектри поглинання розчинів (1 — в циклогексані, 2 — в толуолі, 3 — в хлороформі, 4 — в диметилформаміді) та плівок ЛБ VOPc-4R (5). В інтервалі  $13000\text{--}18000\text{ cm}^{-1}$  шкала частот розтягнута в 4 рази.

На рис. 2 показані спектри поглинання розчинів і ЛБ-плівки VOPc. Згідно з цими даними та даними таблиці 1, зі збільшенням полярності розчинника спектр поглинання VOPc зсувається в бік низьких енергій (найчіткіше це видно на смузі Соре). Структура спектра поглинання ПЛБ VOPc найближче

відповідає лише структурі спектра поглинання розчину в циклогексані. У полярніших розчинниках, крім низькоенергетичного зсуву смуг, спостерігаємо розщеплення в кожній зі смуг  $Q_1$  і  $Q_2$  ( $15000$  і  $16100\text{ cm}^{-1}$ ) на дві, причому зі збільшенням полярності розчинника відбувається перерозподіл інтенсив-

ностей цих смуг і інтенсивність смуги  $Q_1$  стає більшою за інтенсивність смуги  $Q_2$ .

Оскільки спектри поглинання ПЛБ і розчину VOPc в циклогексані аналогічні, тобто не мають структури, властивої розчинам VOPc у полярніших розчинниках, а спектр поглинання VOPc в диметилформаміді відповідає спектрові поглинання парів VOPc, які були досліджені в [10], то можна припустити, що в циклогексані молекули VOPc існують в агрегованому стані, що веде до розмивання структури та розширення спектра, причому впорядкованість асоціяту подібна до впорядкованості молекул у плівках ЛБ. Крім того, оскільки з літератури відомо [5], що молекули Рс в розчині асоціюють в димери, можна допустити, що можлива аналогічна асоціяція молекул VOPc і в циклогексані. Як правило, молекули Рс асоціюють таким чином, щоб їхні площини накладалися одна на одну. Для VOPc це означає, що при асоціації в димери утворюється ланцюг атомів V–O–V–O, а при утворенні ЛБ-плівки цей ланцюг може бути довгим, що забезпечить значне перекривання між  $\pi$ -МО компланарно розміщених молекул Рс. Останнє викличе додаткове розширення смуг поглинання.

З роботи [4] відомо, ванаділпорфірини не дають флюoresценції, але дають фосфоресценцію, що зумовлено участю  $d$ -орбіталей в інтерконверсії (рівень  $d$ -АО лежить між рівнями  $S_1$ - та  $T_1$ -станів). Така взаємодія повинна привести до суттєвого зменшення часу життя молекули в  $S_1$ -стані і, як наслідок, до розширення смуги  $S_0 \rightarrow S_1$ -поглинання. Проте, як видно з рис. 2, смуги поглинання VOPc у розчинах не широкі. Отже, вклад  $d$ -АО в процеси, які приводять до розширення смуг поглинання, несуттєвий.

Як відомо з літератури, спектри поглинання  $H_2P\Phi$  у видимій частині характеризуються чотирма сму-

гами, дві з них відповідають чисто електронним переходам, дипольні моменти яких лежать у площині молекули і взаємно перпендикулярні, а дві інші належать до відповідних електронно-коливних переходів. При переході до  $M\text{PF}$  ( $M$  — атом металу) симетрія молекули підвищується з  $D_{2h}$  до  $D_{4h}$ , а спектр перетворюється на двосмуговий ( $Q_1$  і  $Q_2$ ), перша з яких відповідає чисто електронному переходові, а друга — коливальному повторенню [1–4, 10].

Спектр поглинання досліджуваного VOPc у полярних розчинниках можна інтерпретувати як набір чотирьох смуг (таблиця 1), хоч молекула і має вісь симетрії 4-го порядку. Величина розщеплення смуг  $Q_1$  та  $Q_2$  досягає  $500$ – $600$   $\text{cm}^{-1}$ . Зі спектрів поглинання розчинів VOPc у різних розчинниках виходить, що полярність розчинника суттєво впливає на співвідношення асоційованих і окремих молекул VOPc. Так у розчині циклогексану переважають асоційовані молекули, а в розчині диметилформаміду — окремі молекули VOPc. Із збільшенням полярності розчинника вклад асоційованих молекул у спектр поглинання зменшується, що свідчить про низьку ймовірність утворення асоціятів. Така залежність від полярності розчинника свідчить, що асоціація VOPc забезпечується електростатичною взаємодією (на атомі V локалізований позитивний заряд, тоді як на O — негативний).

При синтезі заміщеного фталоціяніну до незаміщеного VOPc чи до фталіміду, з якого синтезованій VOPc, приєднували замісник  $R$ . Найстабільнішими формами заміщених таким чином VOPc є випадки, коли замісник приєднується до кожного з чотирьох пірольних фрагментів з утворенням відповідно 1-або 2-заміщених VOPc. З методики синтезу заміщених VOPc випливає, що можливе утворення обох сполук.

З іншого боку, можливо, що замісники в VOPc- $4R$

МАТРИЦІ Параметри	ПЛБ	цикло- гексан	толуол	хлороформ	диметил- формамід
$\chi$		0.006	0.009	0.259	0.404
$\mu$		0	0.36	1.87	3.86
$n_D$		1.4266	1.4961	1.4459	1.4303
$\varepsilon$		2.02	2.38	4.7	36.7
Cope	29000	30000	29500 16700	29000 16600	28000
$\nu, \text{ см}^{-1}$	$Q_2$ 16100	16100	16100 15200	16100 15200	16100 15500
$Q_2$	14500	14800	14800	14600	14600
$\tau^{-1}, \text{ см}^{-1}$	$5.4 \cdot 10^{-4}$ $1.7 \cdot 10^{-4}$	$2.3 \cdot 10^{-3}$	$2.1 \cdot 10^{-3}$	$4.0 \cdot 10^{-2}$ $2.0 \cdot 10^{-3}$	$8.0 \cdot 10^{-3}$
$\phi_i/\phi_{\text{тол}}$	I 0.45	II 0.15	0.82	1	I 2.67
				II 1.34	1.92

Таблиця 1. Спектроскопічні та кінетичні характеристики VOPc- $4R$  у розчинах та ЛБ-шарах.

Примітки: а) спектр поглинання VOPc- $4R$  у диметилформаміді знято в кюветі  $d = 2$  мм, в інших випадках використана кювета  $d = 500$  мкм; б) уведені позначення:  $\mu$  — дипольний момент молекули розчинника,  $\varepsilon$  — діелектрична проникливість розчинника,  $n_D$  — показник заломлення розчинника,  $\chi$  — полярність розчинника [9],  $\nu$  — частота ( $\text{cm}^{-1}$ ) у максимумі смуги поглинання VOPc,  $\tau[\tau^{-1} = (dD/dt)/D_0]$  — характеристичний час фотознебарвлювання зразків при опроміненні УФ-світлом лампи ДРШ-1000.

N п/п	$k_1$	$k_2$	умови
1.	$1.07 \cdot 10^{-2}$	$3.00 \cdot 10^{-3}$	на повітрі
2.	$1.90 \cdot 10^{-2}$	$3.30 \cdot 10^{-3}$	в атмосфері $N_2$
3.	$1.06 \cdot 10^{-2}$	—	в атмосфері $N_2 +$ відпал
4.	$1.60 \cdot 10^{-2}$	$3.60 \cdot 10^{-3}$	після висушування (1 доба)
5.	$3.00 \cdot 10^{-2}$	$3.00 \cdot 10^{-3}$	після висушування (3 доби)
6.	$2.80 \cdot 10^{-2}$	$4.00 \cdot 10^{-3}$	у вакуумі
7.	$3.78 \cdot 10^{-2}$	—	в атмосфері $O_2$

Таблиця 2. Константа швидкості фотодисоціації ( $k = \tau^{-1}, \text{ c}^{-1}$ ) ЛБ-плівок при опроміненні УФ-світлом лампи ДРШ-250.

розташовані не строго симетрично в положеннях 1111 (рис. 1), а, наприклад, у положеннях 1221 і т.п., що приводить до пониження симетрії молекул, і як наслідок цього — знімається виродження  $Q_1$  і  $Q_2$  смуг.

Оскільки центральний атом V практично не впливає на формування  $\pi$ -МО, відповідальних за смуги поглинання у видимій області спектра, можна вважати, що симетрія системи  $\pi$ -електронів є  $D_{4h}$ . У такому випадку низькоенергетичні квантові переходи здійснюються з основного  $A_{1g}$  на збуджений  $E_u$ -стан. Якщо ми тепер врахуємо слабку взаємодію між  $\pi$ -МО і замісниками R, тоді симетрія молекули понизиться до  $C_{4h}$ , коли всі замісники займуть однакове положення (1111 чи 2222). При цьому виродження збудженого стану не знімається і розщеплення довгохвильової смуги поглинання не відбувається.

Припустимо, що замісники R можуть займати місця 1 та 2 в довільному порядку. У такому випадку на одну молекулу із замісниками в положеннях (1111) буде припадати 4 молекули (1211), дві молекули (1122) та одна молекула (1212). Другому типові молекул відповідає симетрія  $C_{1h}$ , третьому —  $C_{2v}$  і четвертому  $V_h$ . Усі ці випадки вимагають зняття виродження. Оскільки взаємодія між  $\pi$ -МО і замісниками R слабка, то розщеплення буде невеликим. Отже, найпоширенішому випадку (1211) відповідає найбільше пониження симетрії, яке може забезпечити помітне розщеплення смуг поглинання. Якщо такий факт присутній для VOPc, тоді супутники смуг  $Q_1$  та  $Q_2$  відповідають розщепленню, викликаному пониженням симетрії за рахунок замісників R.

При дослідженні спектральної чутливості VOPc у розчинах було виявлено, що опромінення розчинів світлом 405 і 365 нм не змінить спектра, тоді як опромінення світлом 313 нм викликає незворотне зникнення спектра поглинання VOPc. Спектр поглинання VOPc у видимій області спектра зникає як єдине ціле без зміни форми і структури смуг поглинання, а час  $\tau$  одинаковий для кожної зі смуг у спектрі поглинання. Таким чином, фотохемічні процеси можливі лише у високоенергетичних збуджених станах молекули.

Ми звернули увагу на те, що збудження всіх відомих нам сполук у високоенергетичні стани приводить до їх незворотного зникнення. Продукти фотоперетворень поглинають світло лише в УФ області спектра. Така зміна спектрів поглинання молекулярних

сполук при дії світла свідчить про розрив зв'язків у молекулі і зменшення геометричних розмірів  $\pi$ -МО продуктів фотодисоціації. Отже, зміни в спектрах поглинання VOPc свідчать про дисоціацію молекули з високозбудженою стану. При цьому можливе утворення фталімідів, з яких синтезовано VOPc, або розкриття фталоціянінового кільця. Остання реакція характерна для споріднених сполук — порфіринів, при фотодисоціації яких можливе утворення білірубінів. Розкриття фталоціянінового кільця зруйнує одночасно і цілісну систему  $\pi$ -МО, оскільки існують стеричні перепони для утворення плоскої структури. Фрагменти молекули вимушенні утворювати об'ємні структури, так що кожен фрагмент буде мати свої локалізовані  $\pi$ -МО, які можуть викликати лише поглинання в УФ області спектра.

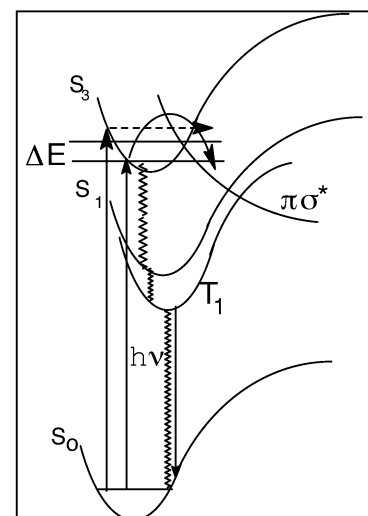


Рис. 3. Схема передисоціації VOPc-4R

Експериментальний факт руйнування молекул при їх збудженні УФ світлом можна пояснити схемою фотопроцесів, показаних на рис. 3. Поглинання світла молекулою приводить до її збудження в  $\pi\sigma^*$ -стан, з якого можлива лише релаксація збудження без розриву зв'язків. Крім системи делокалізованих  $\pi$ -МО, існують і локалізовані  $\sigma$ -МО. Для таких МО характерна наявність двох енергетичних станів, яким відповідають  $\sigma_0$ - та  $\sigma^*$ -МО. Якщо шляхом збудження

перевести електрон на  $\sigma^*$ -МО, то молекула дисоціює. При цьому розривається зв'язок, на якому локалізована ця МО. Збудження локалізованих електронів ( $\sigma_0 \rightarrow \sigma^*$ ) вимагає великої енергії (50000 см<sup>-1</sup>), тому воно не може реалізуватися при опроміненні зразків світлом з близької УФ області спектра. Отже, залишається лише можливість переносу електрона зі збудженої  $\pi^*$ -МО на  $\sigma^*$ -МО (рис. 3).

Такий перенос здійснюється через потенціальний бар'єр висотою  $\Delta E$  і зв'ється предисоціяцією. Оскільки фотоперенос електрона здійснюється з  $\pi$ -системи на  $\sigma^*$ -МО, то утворений стан називається  $\pi\sigma^*$ -станом, який мусить бути дисоціативним. Оскільки такий механізм може реалізуватися в будь-якій молекулі, то всі молекули повинні дисоціювати при збудженні у вищі синглетні стани.

При опроміненні повним спектром ртутної лампи, фотодисоціація VOPc прискорюється. Характеристичний час фотодисоціації  $\tau$  при опроміненні світлом довжиною хвилі 313 нм приблизно в 60 разів менший, ніж при опроміненні повним спектром, що відповідає коефіцієнтові ослаблення світлофільтра, використаного для виділення лінії 313 нм у спектрі випромінювання ртутної лампи.

Кінетика фотохемічних процесів має перший порядок, тобто оптична густина розчину чи ЛБ-плівки VOPc зменшується з часом експоненціально.

Кінетику фотодисоціації можна описати формулою:

$$\frac{dn}{dt} = -\varphi \varepsilon_{313} n I_0 e^{-\varepsilon_{133} n x}, \quad (1)$$

де  $n$  — концентрація молекул у розчині,  $\varepsilon_\lambda$  — коефіцієнт екстинкції на певній довжині хвилі  $\lambda$ ,  $I_0$  — інтенсивність падаючого світла (квант/см<sup>2</sup>с),  $\varphi$  — квантовий вихід фотодисоціації,  $x$  — відстань від поверхні зразка.

Зважаючи на те, що  $D_\lambda = n \varepsilon_\lambda d$  на довільній довжині хвилі, і інтегруючи (1) по товщині зразка, отримаємо:

$$\frac{dD_\lambda}{dt} = -\varphi \varepsilon_\lambda I_0 (1 - e^{-D_{313}}). \quad (2)$$

З кінетики зміни оптичної густини ( $D_\lambda$ ) від часу опромінення VOPc у різних розчинниках видно, що дисоціація VOPc відбувається за одним механізмом практично в усіх дослідженіх випадках.

Виявилось, проте, що в напівлогарифмічному масштабі кінетика має форму ламаної лінії, тобто, є два фотохемічні процеси першого порядку (таблиця 1), перший з яких відповідає за зменшення оптичної густини на 90–100% у розчинах і на 60–90% в ЛБ-плівках залежно від умов експерименту (таблиця 2).

З таблиці 1 видно, що надійно зафіковані дві ділянки кінетики лише в хлороформі, причому константа швидкості другого процесу в 20 разів менша, ніж першого, та в ЛБ-плівках, де константи відрізняються лише в 3 рази.

Величини квантових виходів фотодисоціації в різних розчинниках можна порівняти, трохи переробивши формулу (2), яку знаходимо для певної (довгохвильової) смуги поглинання. Для цього введемо в формулу (2) величину  $\tau$  і отримаємо:

$$\varphi_i = \frac{D_\lambda^i}{\tau_i \varepsilon_\lambda^i I_0 (1 - e^{-D_{313}})}, \quad (3)$$

де введений індекс  $i$  для різних розчинів чи ЛБ-плівки.

Використовуючи (3), отримуємо співвідношення квантових виходів фотодисоціації VOPc у різних розчинниках ( $\varphi_i/\varphi_{\text{тол}}$ ). Ці величини наведені в таблиці 1. Порівняння проводимо з розчином у толуолі ( $\varphi_{\text{тол}}$ ). Величина  $\varphi_i/\varphi_{\text{тол}}$  максимальна для розчину в диметилформаміді і мінімальна для розчину в циклогексані, тобто зменшується зі зменшенням полярності розчинника. А це свідчить про те, що асоціація молекул знижує квантовий вихід фотодисоціації. Найменша величина квантового виходу для ЛБ-плівки, у якій ступінь асоціації найвищий. Відомо, що асоціяти характеризуються низьким квантовим виходом флуоресценції чи фосфоресценції внаслідок значного прискорення процесів внутрішньої конверсії [5, 7]. Внутрішня конверсія може викликати і суттєве зменшення квантового виходу процесу фотодисоціації.

Хлороформ у ряді використаних розчинників характеризується тим, що в ньому співіснують мономери і асоціати в сумірних концентраціях. Тому можна припустити, що мономери можуть утворювати асоціати з продуктами фотодисоціації. Такі асоціати будуть характеризуватися малими величинами квантових виходів фотохемічного перетворення, що виклике появу другої компоненти кінетики фотохемічних процесів. З іншого боку, в ЛБ-плівках продукти фотодисоціації завжди залишаються в структурі плівки, утворюючи змішані асоціати, що може привести до зміни квантового виходу фотодисоціації VOPc. В інших випадках утворення змішаних асоціатів має меншу ймовірність, тому в експериментах їхня участь не зафікована.

Ми дослідили вплив зовнішніх факторів на процес фотодисоціації VOPc у ПЛБ. Для цього вивчали кінетику зміни оптичної густини в максимумі  $Q$ -смуг зразків, поміщеніх у кювету, де а) знаходилося повітря, б) повітря було замінене на чистий кисень чи в) на чистий азот, г) повітря було висушене, д) повітря відкачане.

Величини константи швидкості фотодисоціації  $k = \tau^{-1}$  для досліджених випадків фотолізу ЛБ-плівок наведені в таблиці 2. Порівняння цих величин показує, що прискорення першої компоненти процесу фотодисоціації відбувається за таких умов: а) після висушування плівки (чим довше висушували, тим більшою була швидкість реакції), б) після вакуумування камери, в) після напуску в камеру кисню. Що стосується другої компоненти, то вона залишається

майже незмінною, крім випадків, коли зразок відплюювали ( $100^\circ \text{C}$  в атмосфері азоту) перед проведением експерименту, а також в атмосфері кисню. У цих випадках друга компонента практично зникала.

Вплив вологи на процес фотодисоціації VOPc можна уявити так: вода і VOPc утворюють координатну сполуку за рахунок слабкого водневого зв'язку між протоном води та  $\pi$ -МО, локалізована на містковому атомі азоту. Це викликає невелике зміщення потенціальної кривої дисоціативного стану, якому відповідає локалізована на містковому C–N-зв'язку  $\sigma^*$ -МО. У результаті збільшується величина потенціального бар'єра предисоціації (рис. 3). Отже, видалючи вологу, ми зменшуємо потенціальний бар'єр між зв'язуючим  $\pi\pi^*$  і дисоціативним  $\pi\sigma^*$ -станами.

Видалення вологи з плівки VOPc веде до прискорення фотохемічної дисоціації приблизно в 3 рази, тому зміну величини потенціального бар'єра  $\delta E$  можна оцінити таким чином:

$$e^{-\delta E/kT} \sim 0.3 \Rightarrow \delta E = 0.003 \text{ eV.}$$

Така оцінка була б справедливою в тому випадку, коли б реалізувалася термодинамічна рівновага. Коли предисоціація здійснюється з  $S_1$ -стану, тоді термодинамічна рівновага реалізується, осінньою час термалізації електрона з високозбуджених в  $S_1$ -стану триває  $\sim 10^{-12}$  с, а час життя в  $S_1$ -стані —  $10^{-9}$  с (про це свідчить ширина смуг  $S_0 \rightarrow S_1$  — поглинання VOPc у толуолі та хлороформі). Ми ж маємо предисоціацію з  $S_n$ -стану, де  $n \geq 2$ , у якому термодинамічна рівновага не встановлюється. Тому предисоціація, наймовірніше, проходить у першому ж коливальному акті після поглинання кванта світла в електронно-коливальний  $S_n$ -стан. Квант-

вий вихід предисоціації буде залежати від ефективності внутрішньої конверсії  $\varphi = k_{pr}/(k_{pr} + k_i)$ , де  $k_{pr}$ ,  $k_i$  — константи швидкості предисоціації та внутрішньої конверсії відповідно. Асоціація VOPc з молекулою води може привести до збільшення  $k_i$  чи зменшення  $k_{pr}$ , у результаті чого і зменшиться величина  $\varphi$ . Аналогічно можна пояснити і вплив кисню.

З іншого боку, у роботі [6] зроблено висновок, що асоціація води, аміаку, кисню та інших молекул з молекулою фталоціяніну можлива через взаємодію цієї молекули з центральним атомом. Можливо, що й така взаємодія викликає зміну окремих швидкостей процесів релаксації енергії високозбуджених станів, достатніх для пояснення змін квантового виходу дисоціації молекули.

Вплив відпалу ЛБ-шарів скоріше за все еквівалентний видаленню вологи з шару.

Таким чином, у роботі показано, що:

1. Спектри поглинання VOPc суттєво залежать від полярності розчинника: зі збільшенням полярності зменшується ефективність асоціації, що свідчить про електростатичний характер міжмолекулярної взаємодії в асоціації.

2. Незважаючи на високу симетрію  $\pi$ -МО VOPc, у спектрах поглинання спостерігаємо розщеплення смуг, що є наслідком прояву слабкої взаємодії між  $\pi$ -МО та замісниками.

3. При збудженні молекули у високозбудженні стани  $S_n$  ( $n \geq 3$ ) спостерігаємо дисоціацію. Основним механізмом дисоціації є предисоціація за рахунок релаксації збудження з  $S_n(\pi\pi^*)$  — в  $\pi\sigma^*$ -стан, причому  $\sigma^*$ -МО локалізована на містковому C–N-зв'язку.

4. Показано, що асоціація молекул VOPc між собою або VOPc з молекулами води чи продукту її фотодисоціації приводить до зменшення квантового виходу фотодисоціації. Асоціація з молекулою кисню викликає підвищення квантового виходу фотодисоціації.

- 
- [1] Б. Д. Березин, Н. С. Ениколопян, *Металлопорфирины* (Наука, Москва, 1988).
- [2] Г. П. Гуринович, А. Н. Севченко, К. Н. Соловьев, *Спектроскопия хлорофилла и родственных соединений* (Наука и техника, Минск, 1968).
- [3] В. Б. Евстигнеев, А. А. Красновский, Докл. Акад. наук СССР **58**, 1399 (1947).
- [4] И. И. Дилюнг, Е. И. Капинус, Усп. химии **47**, 83 (1978).
- [5] А. Н. Теренин, в *Избранные труды, Т.2* (Наука, Ленинград, 1974), с. 462-465.
- [6] А. Н. Теренин, в *Избранные труды, Т.2* (Наука, Ленинград, 1974), с. 287-297.
- [7] А. Н. Теренин, в *Избранные труды, Т.2* (Наука, Ленинград, 1974), с. 222-225.
- [8] О. В. Чечель, Е. Н. Николаев, Усп. химии **59**, 1888 (1990).
- [9] К. Райхардт, *Растворители и эффекты среды в органической химии* (Мир, Москва, 1991).
- [10] L. Edvards, M. Gouterman, J. Mol. Spectrosc. **33**, 292 (1970).

PHOTOPROCESSES IN LANGMUIR-BLODGETT  
VANADYLPHTHALOCYANINE FILMS

P. O. Kondratenko, K. V. Storozhenko

*Institute of Physics of the National Academy of Sciences of Ukraine,  
46 Nauky Pr., Kyiv, UA-252650, Ukraine*

Physical and photochemical processes in the Langmuir–Blodgett films (LBF) and solutions of vanadylphthalocyanine (VOPc) were investigated. The solvents influence on both the spectral characteristics and associations efficiency of VOPc molecules was observed: solvents polarity increasing cause decreasing of both the absorption bands width and associations grade. Spectral bands splitting exists due to weak interaction between  $\pi$ -MO and substituents. It was shown that the excitation of VOPc molecule (in solutions and LBF) to high energy states causes its photodissociation by predissociations mechanism mainly. Predissociation is realized by excitations relaxation from  $S_n(\pi\pi^*)$  to  $\pi\sigma^*$ -state ( $\sigma^*$ -mo is localised on the bridge C–N–band). The association between VOPc molecules and the ones or both water molecules and photodissociations product cause decreasing of photodissociations quantum yield.